

Starkniederschlagshöhen und -spenden gemäß KOSTRA-DWD-2010R

Auswertungszeitraum von 1951 - 2010, Januar - Dezember

Rasterfeld: 33067

Zeile: 33

Spalte: 67

Seite: 1/2

| Dauerstufe D | Wiederkehrzeit T | | | | | | | | | | | | | | | | | | |
|--------------|------------------|------|------------|------|------------|------|------------|------|------------|------|------------|-------|------------|-------|------------|-------|------------|-------|------------|
| | 1 a | | 2 a | | 3 a | | 5 a | | 10 a | | 20 a | | 30 a | | 50 a | | 100 a | | |
| min | Std | mm | l / (s ha) | mm | l / (s ha) | mm | l / (s ha) | mm | l / (s ha) | mm | l / (s ha) | mm | l / (s ha) | mm | l / (s ha) | mm | l / (s ha) | mm | l / (s ha) |
| 5 | | 5,1 | 170,0 | 6,4 | 213,3 | 7,2 | 240,0 | 8,1 | 270,0 | 9,4 | 313,3 | 10,6 | 353,3 | 11,4 | 380,0 | 12,3 | 410,0 | 13,6 | 453,3 |
| 10 | | 8,2 | 136,7 | 10,1 | 168,3 | 11,2 | 186,7 | 12,5 | 208,3 | 14,4 | 240,0 | 16,3 | 271,7 | 17,4 | 290,0 | 18,8 | 313,3 | 20,6 | 343,3 |
| 15 | | 10,2 | 113,3 | 12,5 | 138,9 | 13,9 | 154,4 | 15,7 | 174,4 | 18,0 | 200,0 | 20,3 | 225,6 | 21,7 | 241,1 | 23,5 | 261,1 | 25,8 | 286,7 |
| 20 | | 11,6 | 96,7 | 14,4 | 120,0 | 16,0 | 133,3 | 18,0 | 150,0 | 20,8 | 173,3 | 23,5 | 195,8 | 25,2 | 210,0 | 27,2 | 226,7 | 29,9 | 249,2 |
| 30 | | 13,5 | 75,0 | 17,0 | 94,4 | 19,0 | 105,6 | 21,6 | 120,0 | 25,0 | 138,9 | 28,5 | 158,3 | 30,5 | 169,4 | 33,0 | 183,3 | 36,5 | 202,8 |
| 45 | | 15,2 | 56,3 | 19,5 | 72,2 | 22,1 | 81,9 | 25,2 | 93,3 | 29,6 | 109,6 | 33,9 | 125,6 | 36,4 | 134,8 | 39,6 | 146,7 | 43,9 | 162,6 |
| 60 | | 16,2 | 45,0 | 21,3 | 59,2 | 24,2 | 67,2 | 28,0 | 77,8 | 33,0 | 91,7 | 38,1 | 105,8 | 41,1 | 114,2 | 44,8 | 124,4 | 49,9 | 138,6 |
| 90 | | 17,4 | 32,2 | 23,2 | 43,0 | 26,5 | 49,1 | 30,7 | 56,9 | 36,4 | 67,4 | 42,2 | 78,1 | 45,5 | 84,3 | 49,7 | 92,0 | 55,5 | 102,8 |
| 120 | 2 | 18,4 | 25,6 | 24,6 | 34,2 | 28,3 | 39,3 | 32,9 | 45,7 | 39,1 | 54,3 | 45,3 | 62,9 | 49,0 | 68,1 | 53,5 | 74,3 | 59,8 | 83,1 |
| 180 | 3 | 19,8 | 18,3 | 26,8 | 24,8 | 30,9 | 28,6 | 36,1 | 33,4 | 43,1 | 39,9 | 50,2 | 46,5 | 54,3 | 50,3 | 59,5 | 55,1 | 66,5 | 61,6 |
| 240 | 4 | 20,9 | 14,5 | 28,5 | 19,8 | 33,0 | 22,9 | 38,6 | 26,8 | 46,3 | 32,2 | 53,9 | 37,4 | 58,4 | 40,6 | 64,1 | 44,5 | 71,7 | 49,8 |
| 360 | 6 | 22,5 | 10,4 | 31,1 | 14,4 | 36,2 | 16,8 | 42,5 | 19,7 | 51,1 | 23,7 | 59,8 | 27,7 | 64,8 | 30,0 | 71,2 | 33,0 | 79,8 | 36,9 |
| 540 | 9 | 24,2 | 7,5 | 34,0 | 10,5 | 39,6 | 12,2 | 46,8 | 14,4 | 56,5 | 17,4 | 66,3 | 20,5 | 72,0 | 22,2 | 79,1 | 24,4 | 88,8 | 27,4 |
| 720 | 12 | 25,5 | 5,9 | 36,1 | 8,4 | 42,3 | 9,8 | 50,1 | 11,6 | 60,7 | 14,1 | 71,3 | 16,5 | 77,5 | 17,9 | 85,3 | 19,7 | 95,9 | 22,2 |
| 1080 | 18 | 27,5 | 4,2 | 39,5 | 6,1 | 46,4 | 7,2 | 55,2 | 8,5 | 67,2 | 10,4 | 79,1 | 12,2 | 86,1 | 13,3 | 94,9 | 14,6 | 106,9 | 16,5 |
| 1440 | 24 | 29,0 | 3,4 | 42,0 | 4,9 | 49,6 | 5,7 | 59,2 | 6,9 | 72,2 | 8,4 | 85,2 | 9,9 | 92,8 | 10,7 | 102,4 | 11,9 | 115,4 | 13,4 |
| 2880 | 48 | 36,1 | 2,1 | 50,4 | 2,9 | 58,8 | 3,4 | 69,4 | 4,0 | 83,7 | 4,8 | 98,1 | 5,7 | 106,5 | 6,2 | 117,0 | 6,8 | 131,4 | 7,6 |
| 4320 | 72 | 41,0 | 1,6 | 56,1 | 2,2 | 65,0 | 2,5 | 76,1 | 2,9 | 91,2 | 3,5 | 106,4 | 4,1 | 115,2 | 4,4 | 126,4 | 4,9 | 141,5 | 5,5 |

Angaben in mm: Bemessungsniederschlagswerte h(n)

Angaben in l / (s ha): Regenspende R(n) mit $R(n) = h(n) \times 1,666667 / D[\text{min}]$

Toleranzbereiche:

+/- 10 % für $1 \text{ a} \leq T \leq 5 \text{ a}$

+/- 15 % für $5 \text{ a} < T \leq 50 \text{ a}$

+/- 20 % für $50 \text{ a} < T \leq 100 \text{ a}$

Datenbasis: KOSTRA-DWD-2010R des Deutschen Wetterdienstes. Die Regenspende wurde auf Basis des Bemessungsniederschlags zur jeweiligen Andauer berechnet.

Für die Richtigkeit und Aktualität der Angaben wird keine Gewähr übernommen. Erstellt 07/2022.

Starkniederschlagshöhen und -spenden gemäß KOSTRA-DWD-2010R

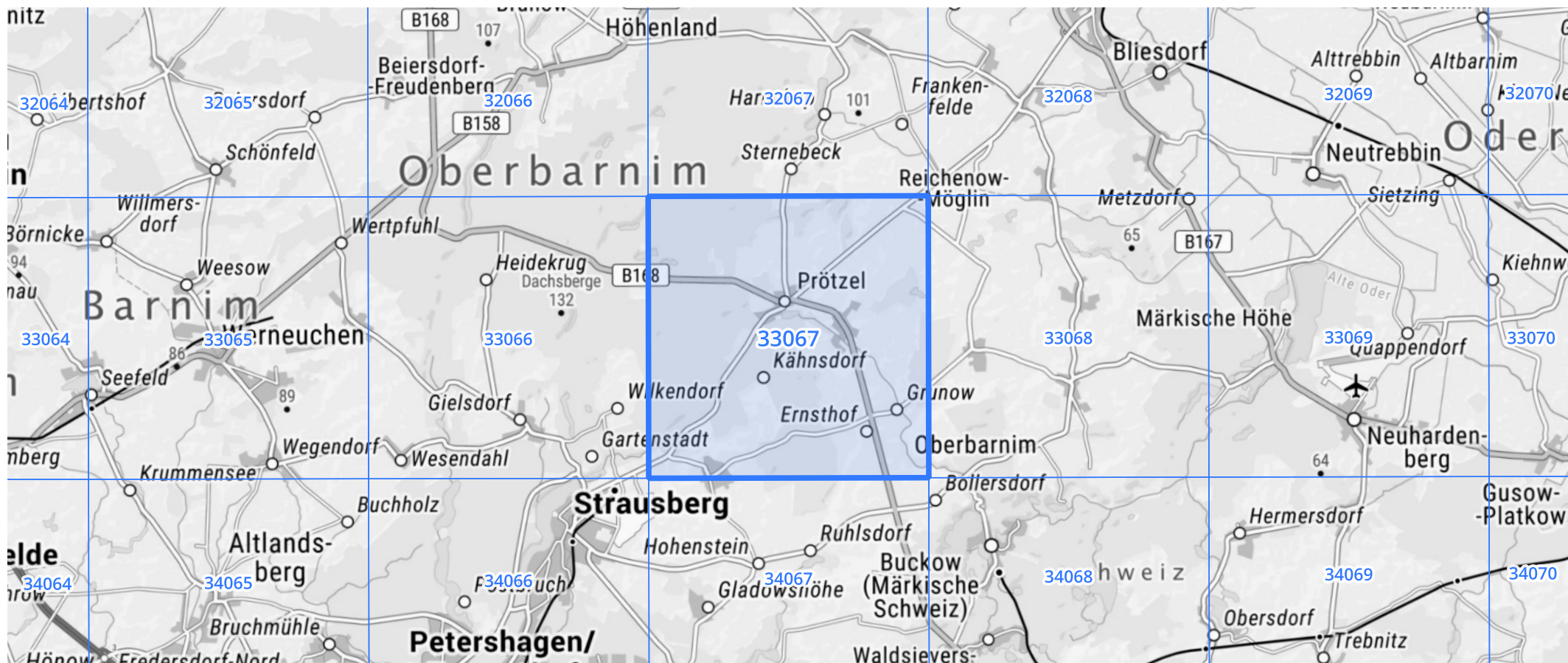
Auswertungszeitraum von 1951 - 2010, Januar - Dezember

Rasterfeld: 33067

Zeile: 33

Spalte: 67

Seite: 2/2



Quelle Rasterdaten: KOSTRA-DWD-2010R des Deutschen Wetterdienstes.

Kartendarstellung: © Bundesamt für Kartographie und Geodäsie (2022), Datenquellen: https://sgx.geodatenzentrum.de/web_public/gdz/datenquellen/Datenquellen_TopPlusOpen.html

Für die Richtigkeit und Aktualität der Angaben wird keine Gewähr übernommen. Erstellt 07/2022.